

マルチキャスト通信における L_1 ノルム最小化による パケット損失率推定法とパスの選択法

長岡技術科学大学 大学院工学研究科

吉川泰司
中川健治
渡部康平

研究背景

通信事業において、ネットワーク内部状態の把握は重要

内部状態には**パケット損失率**、遅延などがある

本研究では**ネットワークの輻輳の最も直接的な指標であるパケット損失率**に注目

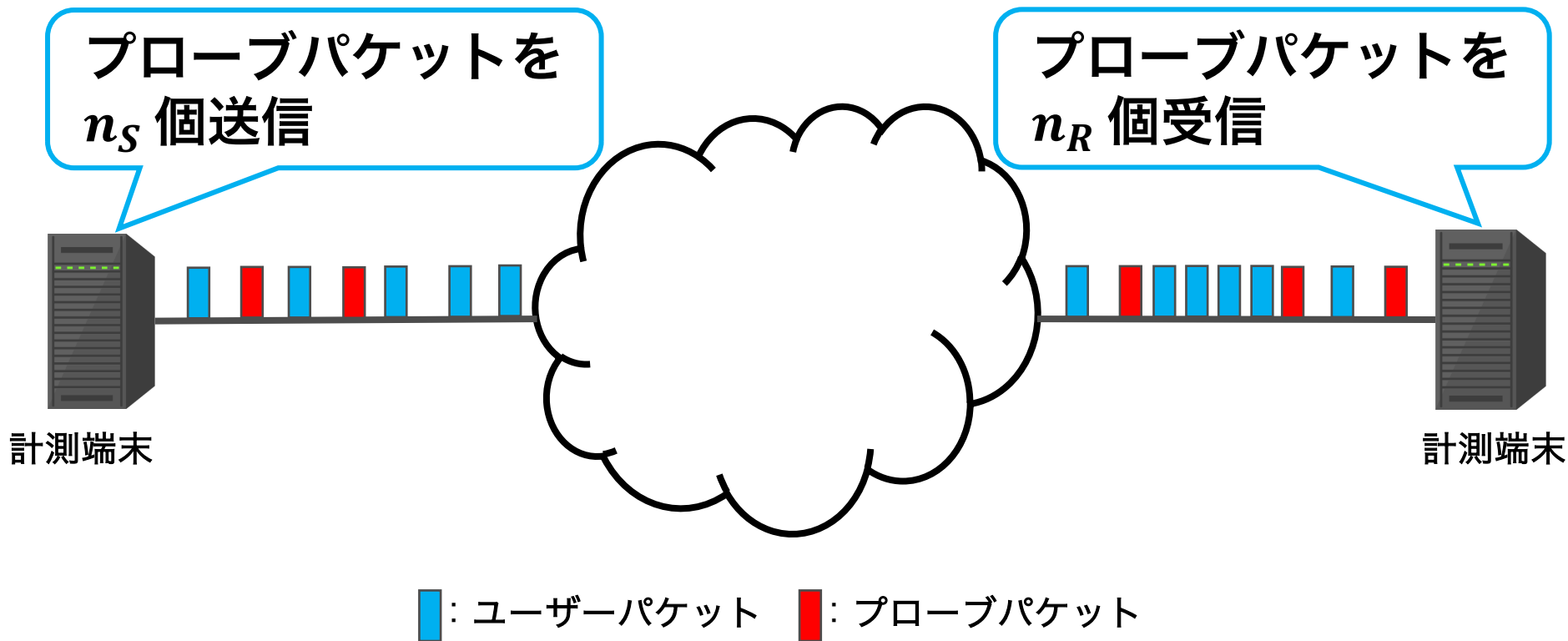
内部状態を把握する手法は複数存在するが、いずれも**計測精度とネットワークの負荷にトレードオフ**の関係がある

計測手法

アクティブ計測

パケット損失率

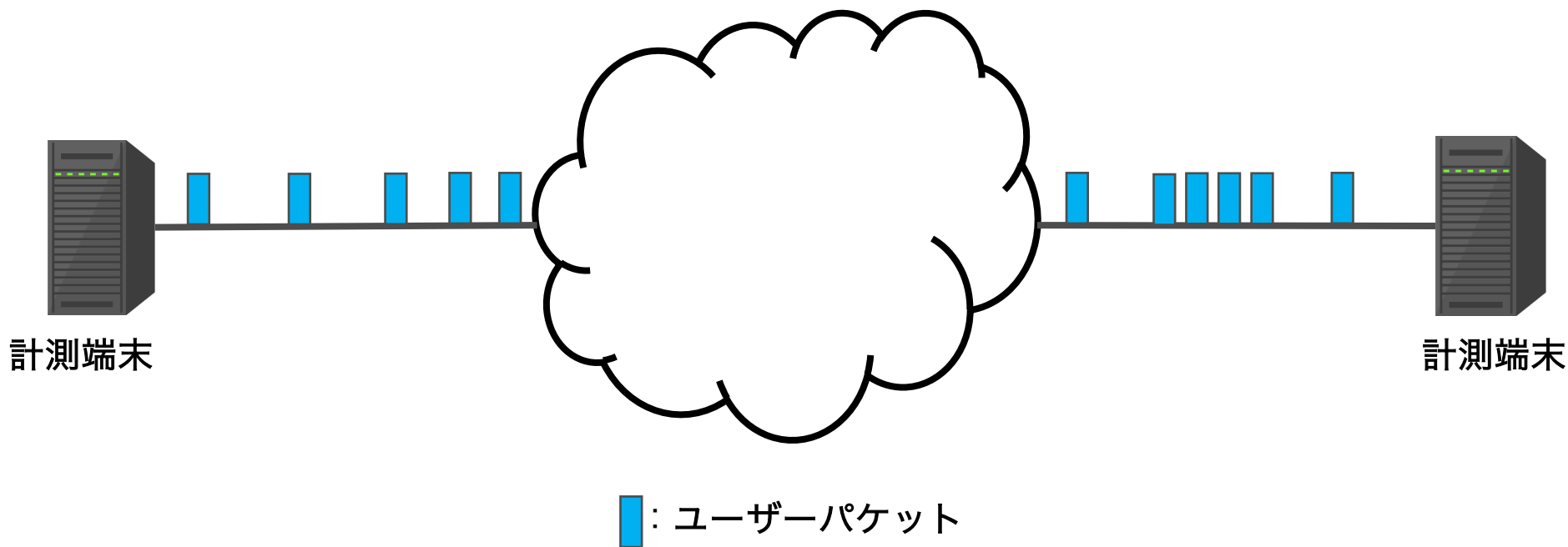
$$l = 1 - \frac{n_R}{n_S}$$



計測手法

パッシブ計測

- プローブパケットを使用せず，端末間で計測する手法
- ユーザーパケットを記録して計測
- 計測精度と計測装置の負荷にトレードオフの関係

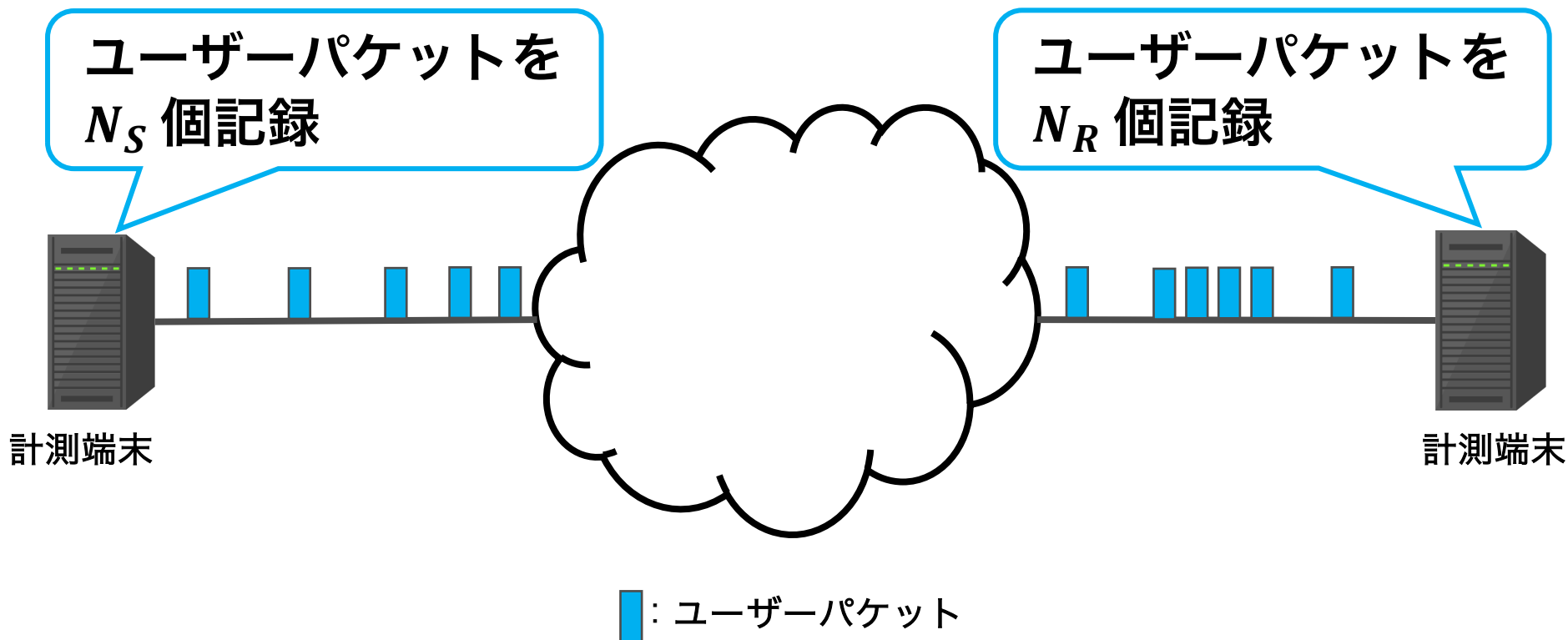


計測手法

パッシブ計測

パケット損失率

$$\alpha = 1 - \frac{N_R}{N_S}$$



パケット損失率推定におけるネットワークトモグラフィ

アクティブ計測はネットワークに本来必要のないパケットを送信し、パケット損失率推定では輻輳しているリンクに送信されることで**ユーザトラフィックに影響を与える**

従来のマルチキャストの推定法では**アクティブ計測のみ**の推定法が多い

アクティブ計測とパッシブ計測との併用した手法は**ユニキャスト**になっている

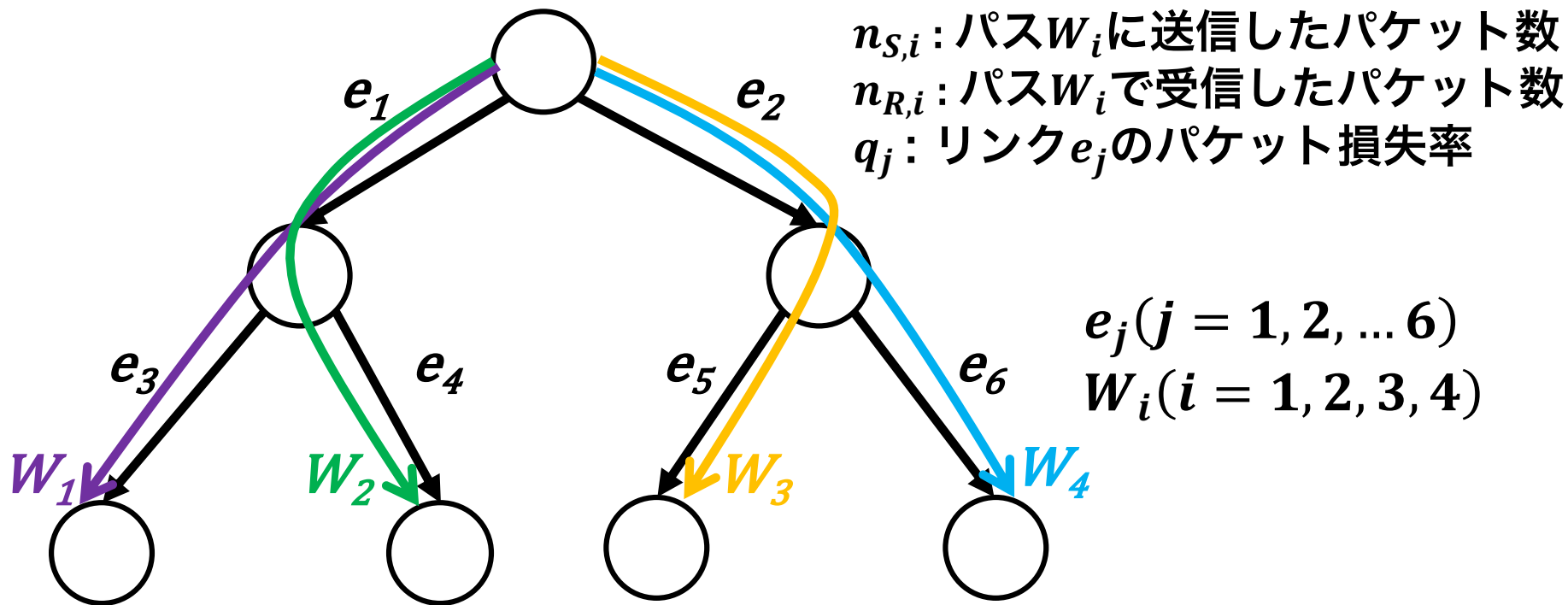
マルチキャストにおいてアクティブ計測を削減することを考える

マルチキャストの packets 損失率推定 従来法[1]

アクティブ計測のみ用いる

パケット損失率 $l_i = 1 - \frac{n_{R,i}}{n_{S,i}}$

パケット到達率 $1 - l_i = \prod_{e_j \in W_i} (1 - q_j)$



[1] M.H. Firooz and S. Roy, "Network tomography via compressed sensing," Global Telecommunications Conference (GLOBECOM 2010) IEEE, pp.1-5 2010.

マルチキャストの packets 損失率推定 従来法[1]

packets の到達率を対数変換する

$$1 - l_i = \prod_{e_j \in W_i} (1 - q_j)$$

対数

$$\vec{y} = A\vec{x}$$

A : ルーティング行列

$$y_i = -\log(1 - l_i), x_j = -\log(1 - q_j)$$

対数変換したことにより **線形方程式**が得られる

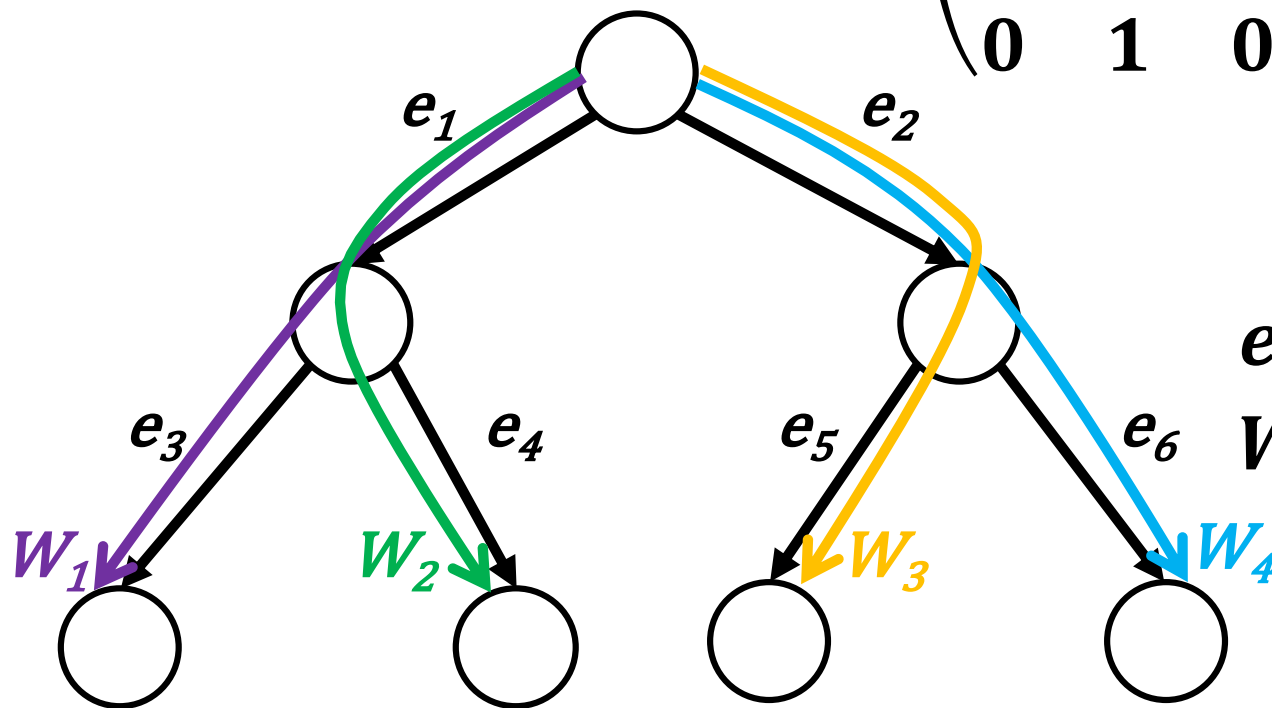
マルチキャストの packets 損失率推定 従来法[1]

ルーティング行列A

ネットワークの構造を示す

行 パス W_i
列 リンク e_j

$$A = \begin{pmatrix} e_1 & e_2 & e_3 & e_4 & e_5 & e_6 \\ 1 & 0 & 1 & 0 & 0 & 0 \\ 1 & 0 & 0 & 1 & 0 & 0 \\ 0 & 1 & 0 & 0 & 1 & 0 \\ 0 & 1 & 0 & 0 & 0 & 1 \end{pmatrix} \begin{matrix} W_1 \\ W_2 \\ W_3 \\ W_4 \end{matrix}$$



$e_j (j = 1, 2, \dots, 6)$
 $W_i (i = 1, 2, 3, 4)$

マルチキャストのパケット損失率推定 従来法[1]

ネットワーク内でパケット損失が起こるリンクは少なく，大部分が0(スパース)である

スパース性を持つと仮定する

得られた線形方程式

$$\vec{y} = A\vec{x}$$

を制約条件とする L_1 ノルム最小化問題として定式化

L_1 ノルム最小化問題

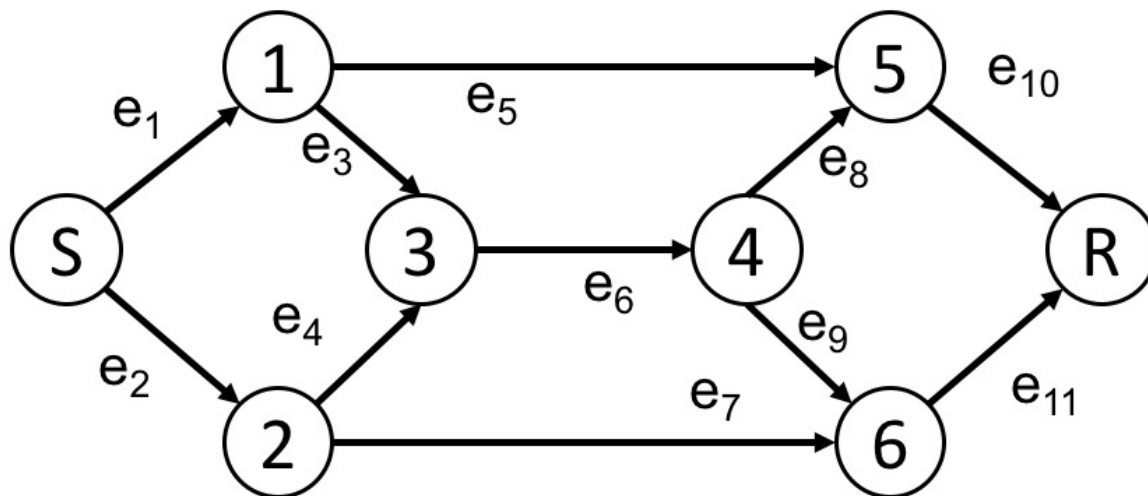
$$\hat{\vec{x}} = \underset{\vec{x}}{\operatorname{argmin}} \|\vec{x}\|_1 \quad \text{s. t. } \vec{y} = A\vec{x}$$

ユニキャストの packets 損失率推定 従来法[2]

アクティブ計測とパッシブ計測を併用する

アクティブ計測パスを減らすことができる

アクティブ計測 $\vec{y} = A\vec{x}$ α : ネットワークの packets 損失率
パッシブ計測 $\alpha = \vec{\beta}^T \vec{l}$ $\vec{\beta}$: パス W_i の利用率 $\vec{\beta} = (\beta_1, \dots, \beta_i)$
 l_i : パス W_i の packets 損失率
 $\vec{l} = (l_1, \dots, l_i)^T$



ユニキャストの packets 損失率推定 従来法[2]

アクティブ計測を全てのパスで行うとプローブパケットが多くなりネットワークに負荷がかかる

アクティブ計測のパスを減らす

アクティブ計測を行うパスと行わないパスに分割

$$A^T = (A_o^T, A_m^T), \vec{\beta}^T = (\vec{\beta}_o, \vec{\beta}_m), \quad \begin{array}{l} o: \text{observed} \\ m: \text{missing} \end{array}$$
$$\vec{l}^T = (\vec{l}_o, \vec{l}_m), \vec{y}^T = (\vec{y}_o, \vec{y}_m)$$

アクティブ計測 $\vec{y}_o = A_o \vec{x}$

パッシブ計測 $\alpha = \vec{\beta}_o^T \vec{l}_o + \vec{\beta}_m^T \vec{l}_m$

テイラー近似

$$\alpha - \vec{\beta}_o^T \vec{l}_o = \vec{\beta}_m^T A_m \vec{x}$$

ユニキャストの packets 損失率推定 従来法[2]

アクティブ計測 $\vec{y}_o = A_o \vec{x}$

パッシブ計測 $\alpha - \vec{\beta}_o^T \vec{l}_o = \vec{\beta}_m^T A_m \vec{x}$

損失率の高いリンクは少なく， **スパース性持つと仮定**でき， **L_1 ノルム最小化問題**として推定できる

L_1 ノルム最小化問題

$$\hat{\vec{x}} = \underset{\vec{x}}{\operatorname{argmin}} \|\vec{x}\|_1$$

$$\text{s. t. } \vec{y}_o = A_o \vec{x}, \alpha - \vec{\beta}_o^T \vec{l}_o = \vec{\beta}_m^T A_m \vec{x}$$

従来法の問題

アクティブ計測のみのマルチキャストの従来法は
プローブパケットを流すため**ユーザトラフィックに
影響を与える**

目的 1

従来のユニキャストの推定法を拡張し、マルチキャストにおいて、アクティブ計測を少なくリンクのパケット損失率を推定する手法

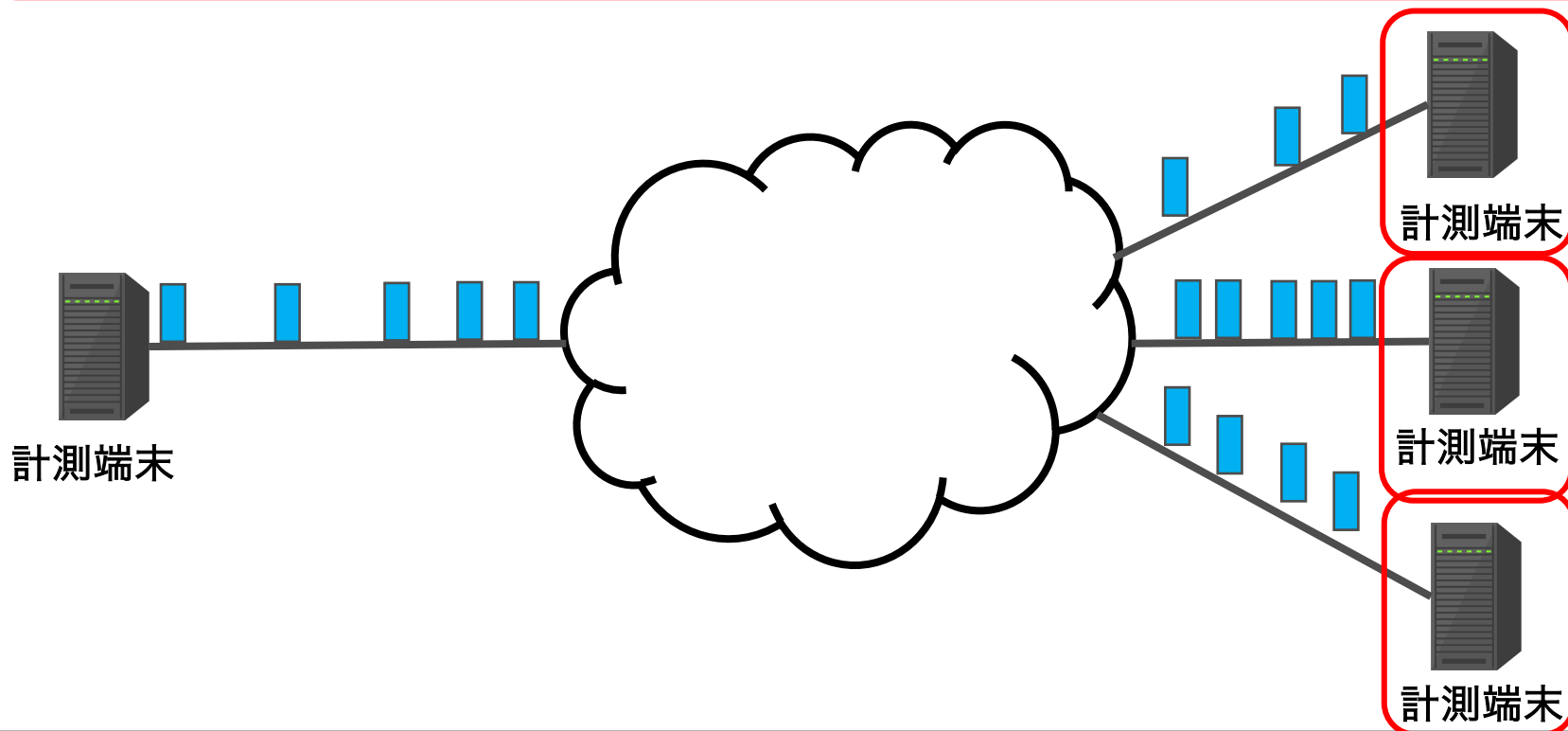
目的 2

アクティブ計測を行うパスの選択

従来手法の改良

従来法ではユニキャストのみでしか使えないため、これを**マルチキャスト**で使えるように**拡張**する

受信機が複数になることによりパッシブ計測から得られる情報が増え、プローブによる負荷を軽減

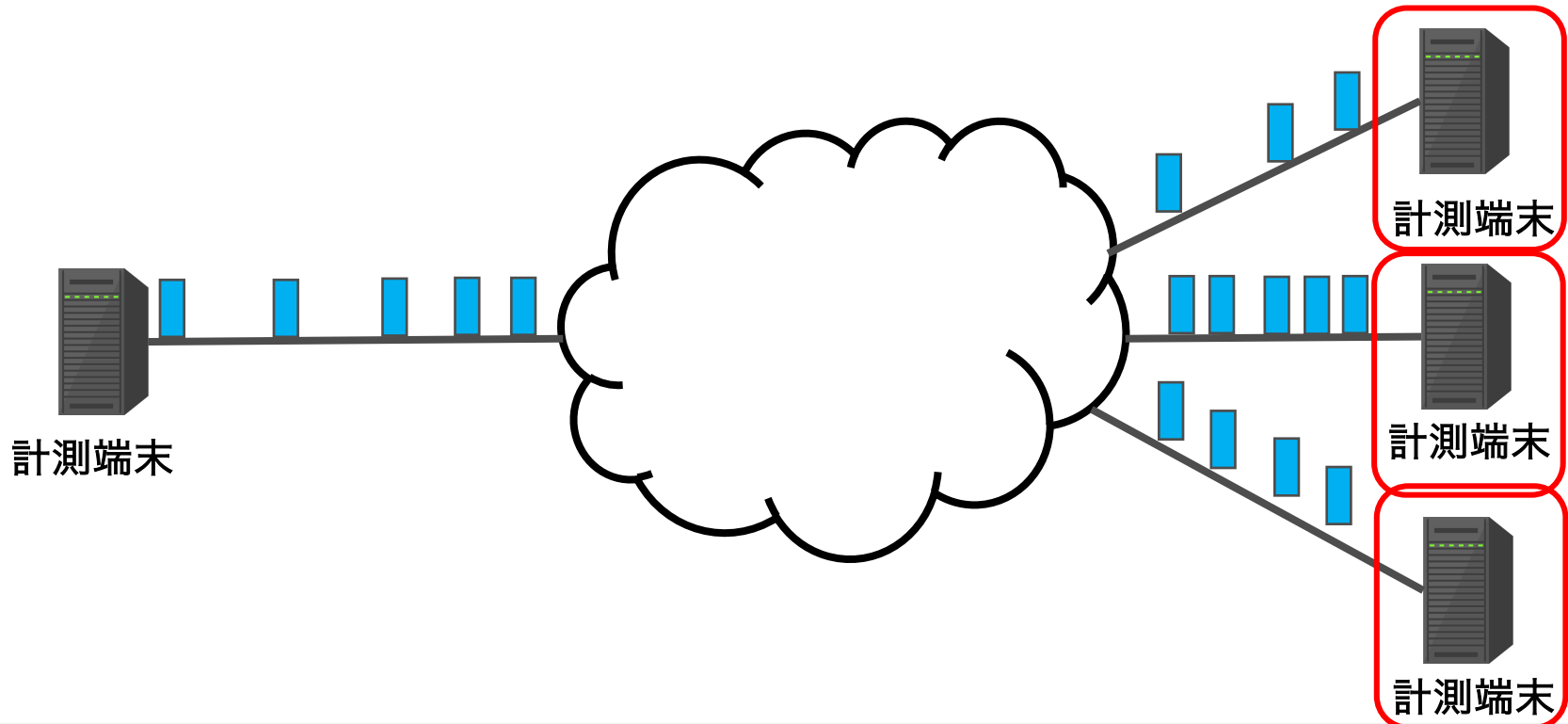


提案法

パッシブ計測で観測されるパケット損失率
受信機が複数になったことにより、

スカラー α \rightarrow ベクトル $\vec{\alpha}$

受信機数分の列ベクトル



提案法

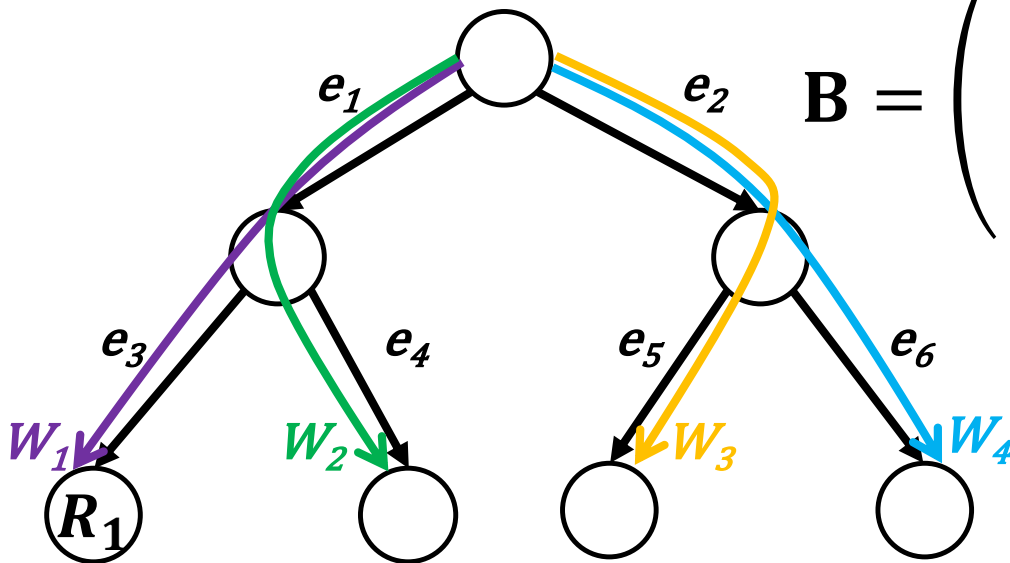
パスの利用率

$\vec{\alpha}$ になったことにより,

ベクトル $\vec{\beta}$ \rightarrow 行列 B

行：パス 列：受信機

例)



$$B = \begin{pmatrix} R_1 & R_2 & R_3 & R_4 \\ 0.25 & 0 & 0 & 0 \\ 0 & 0.25 & 0 & 0 \\ 0 & 0 & 0.25 & 0 \\ 0 & 0 & 0 & 0.25 \end{pmatrix} \begin{matrix} W_1 \\ W_2 \\ W_3 \\ W_4 \end{matrix}$$

提案法

受信機が複数になったことにより、

スカラー α \rightarrow ベクトル $\vec{\alpha}$

ベクトル $\vec{\beta}$ \rightarrow 行列 \mathbf{B}

$\vec{\alpha}$ 受信機数のパケット損失率
の列ベクトル
 \mathbf{B} パスの利用率の行列

パッシブ計測の式は

$$\vec{\alpha} - \mathbf{B}_o^T \vec{l}_o = \mathbf{B}_m^T \mathbf{A}_m \vec{x}$$

となり

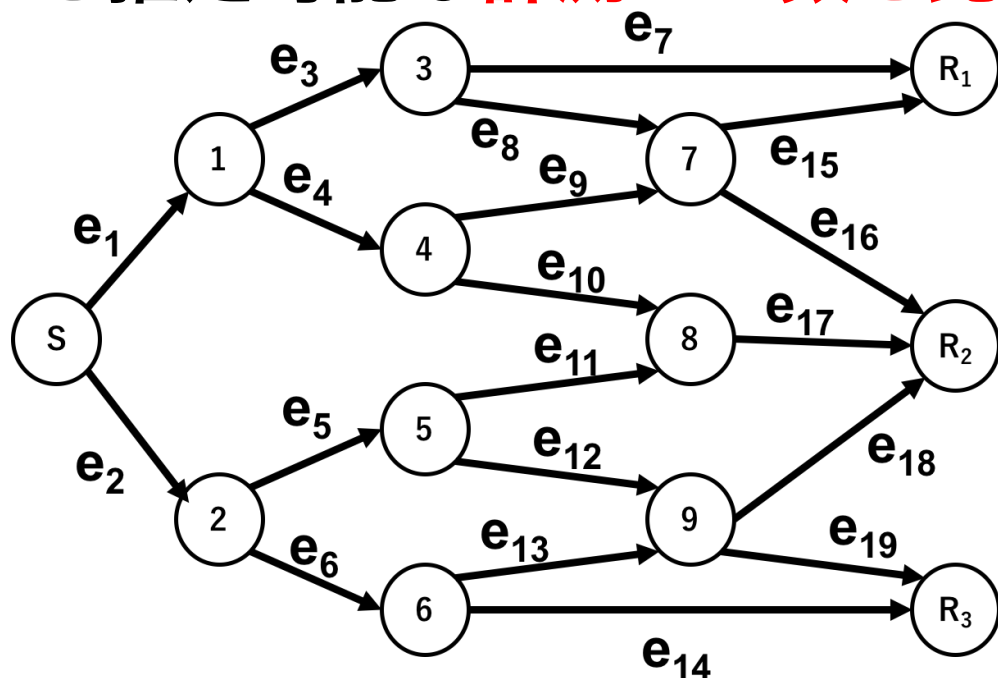
$$\hat{\vec{x}} = \underset{\vec{x}}{\operatorname{argmin}} \|\vec{x}\|_1$$

$$\text{s. t. } \vec{y}_o = \mathbf{A}_o \vec{x}, \vec{\alpha} - \mathbf{B}_o^T \vec{l}_o = \mathbf{B}_m^T \mathbf{A}_m \vec{x}$$

シミュレーション条件

以下のトポロジーでパケット損失リンクは1つとする
損失発生リンクのパケット損失率のみ0より大きい推
定値が得られた場合に推定可能とする

アクティブ計測のみの場合と提案法で全てのリンク
を推定可能な**計測パス数を比較**する



パス数 : 12

W_i ($i = 1, 2, \dots, 12$)

リンク数 : 19

e_j ($j = 1, 2, \dots, 19$)

損失率 : 0.05

パスの利用率 $\beta_i = 1/12$

結果

全てのリンクを推定可能な計測パス数の比較

計測パス数	12	11	10	9	8	7	...
アクティブ計測のみ	○	○	○	×	×	×	...
提案法	○	○	○	○	○	×	...

○：推定可能 ×：推定不可

最小の計測パス数

- アクティブ計測のみ 10本
- 提案法 8本

パッシブ計測から得られる情報が増えたため

- 提案法の方が計測パス数が少なく推定可能

計測パスの選択

計測パスをいくつ削減できるのかは**推定を行わない**
とわからない

計測を実際に行なって確かめるのは**ネットワークに**
負荷をかけてしまう

計測せずに推定可能か評価する方法が必要になる

全てのリンクを推定可能な計測パスの選択方法

L_1 ノルム最小化問題の完全再現十分条件

完全再現：正しい解が再構成されること

非零成分の個数が高々 K 個の場合，完全再現十分条件は

$$\text{spark}(A_o) > 2K$$

$\text{spark}(A_o)$ ：行列 A_o の一次従属な列ベクトル数の最小値

となる[3]

spark の計算量は $O(2^L)$ であり，現実的ではない

L ：ネットワークのリンク数

インコヒーレンスによって計算量を抑える方法が提案されている[4],[5]

[3] D. L. Donoho, "Optimally sparse representation in general (nonorthogonal) dictionaries via l^1 minimization," Proc. Natl. Acad. Sci., vol. 100, no. 5, 2197 (2003).

[4] S. Gleichman and Y. C. Eldar, "Blind Compressed Sensing," IEEE Trans. Info. Theory, vol. 57, no. 10, 6958 (2011).

[5] 三村 和史. "圧縮センシング -疎情報の再構成とそのアルゴリズム-". 数理解析研究所講究録. 第1803巻. 2012年

L_1 ノルム最小化問題の完全再現十分条件

インコヒーレンス

A_o の異なる2つの列ベクトル $\vec{\alpha}_i, \vec{\alpha}_j$ の方向余弦の絶対値の最大値

$$\mu(A_o) := \max_{1 \leq i < j \leq L} \frac{|\langle \vec{\alpha}_i, \vec{\alpha}_j \rangle|}{\|\vec{\alpha}_i\|_2 \|\vec{\alpha}_j\|_2}$$

行列 A_o の一次従属な列ベクトル数の最小値[2]

$\mu(A_o)$ の計算量は $O(L^2)$

インコヒーレンスを用いることで

$$\text{spark}(A_o) \geq \left(1 + \frac{1}{\mu(A_o)}\right)$$

完全再現十分条件は $\text{spark}(A_o) > 2K$ より,

$$K < \frac{1}{2} \left(1 + \frac{1}{\mu(A_o)}\right)$$

L_1 ノルム最小化問題の完全再現十分条件

完全再現十分条件

$$K < \frac{1}{2} \left(1 + \frac{1}{\mu(A_o)} \right) := \tau(A_o)$$

$\tau(A_o)$ を求めることで評価できる

パケット損失率推定における K は損失の発生するリンク数であり、損失リンク数が

$$\begin{array}{ll} 1 \text{ 個の場合} & 1 \leq \tau(A_o) \\ 2 \text{ 個の場合} & 2 \leq \tau(A_o) \quad \dots \end{array}$$

を満たす A_o を選択する

提案法の計測パスの選択法

完全再現十分条件

$$K < \tau(A_0)$$

マルチキャストの従来法に適用するためには

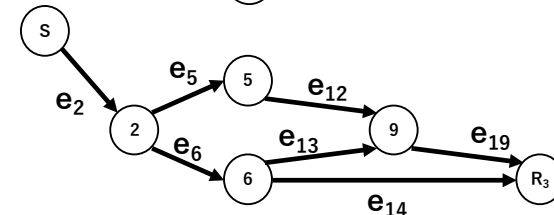
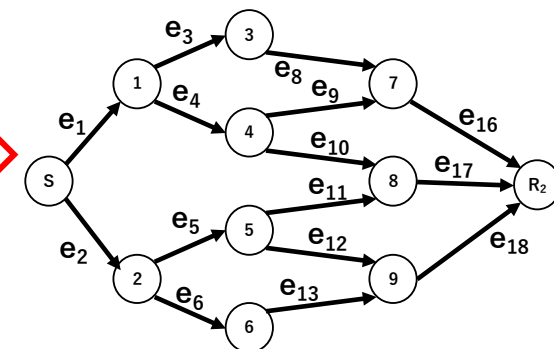
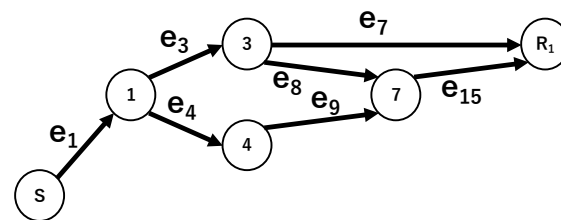
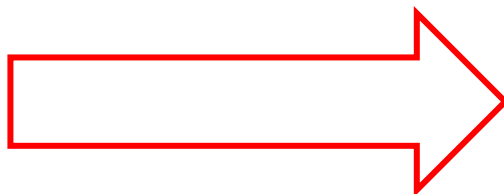
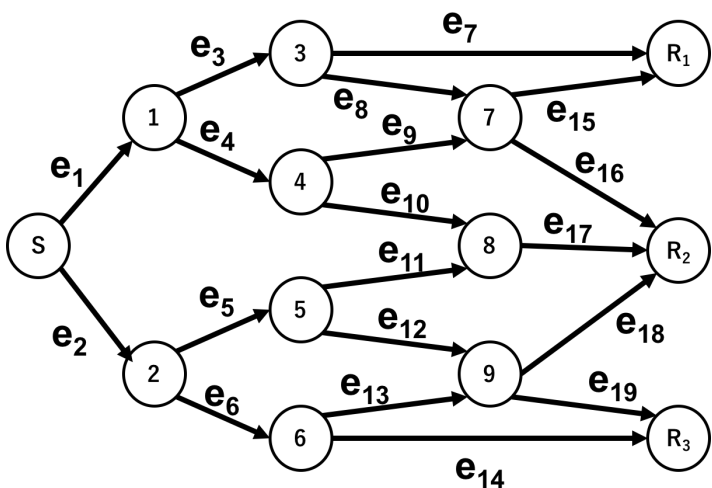
- 完全再現十分条件が真であること
- A_0 に全てのリンクを含むこと

提案法ではパッシブ計測も用いているため A_0 に全てのリンクを含む必要はない

提案法の計測パスの選択法

パッシブ計測は端末間のパケット損失率が得られる

トポロジーを1対1に分割した場合に，分割したトポロジー毎に1つのパッシブ計測の式が得られる



提案法の計測パスの選択法

分割したトポロジー内に,

A_o に含まれない未計測のリンクが1個以下であれば
パッシブ計測で推定可能となる

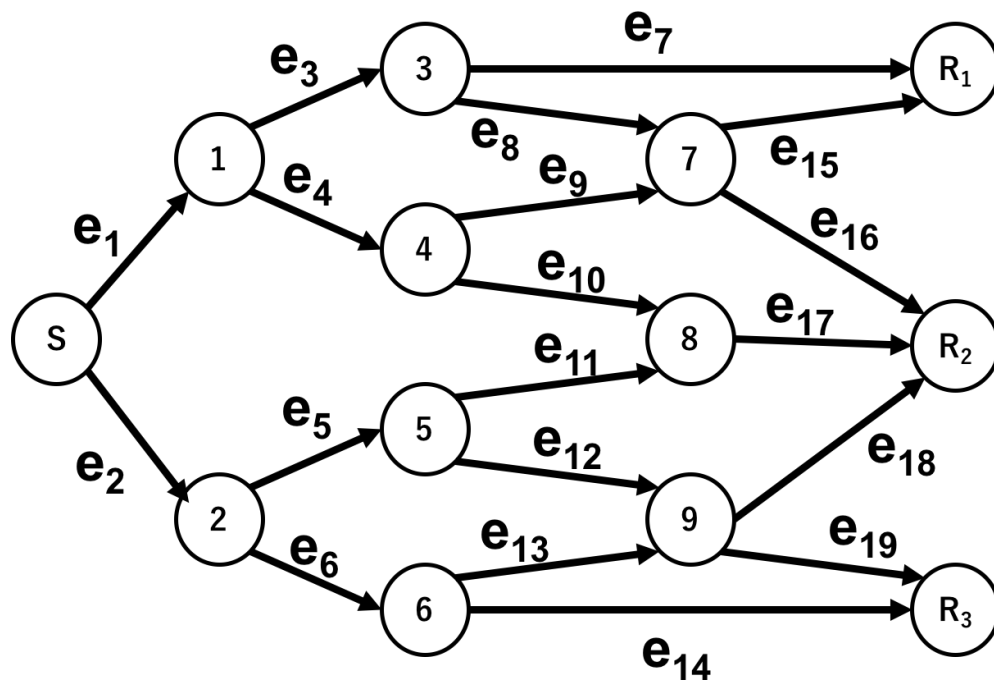
提案法の計測パスの選択法

- $K < \tau(A_o)$ が真である
- 分割したトポロジー内で A_o に含まれない未計測のリンクが1個以下

シミュレーション条件

以下のトポロジでパケット損失リンクは1つとする

計測パスを減らしていき，全ての組合せを全探索で，提案法の計測パスの選択法を満たしたものが推定可能であることを示す



パス数 : 12

W_i ($i = 1, 2, \dots, 12$)

リンク数 : 19

e_j ($j = 1, 2, \dots, 19$)

結果

計測パス数に対する条件を満たす組合せ数

計測パス数	12	11	10	9	8	7	...
完全再現十分条件	1	8	20	16	4	0	...
提案法のパス選択法	1	8	16	16	3	0	...

上表のうち全てのリンクを推定可能な組合せの割合

計測パス数	12	11	10	9	8	7	...
完全再現十分条件[%]	100	80	100	100	75	0	...
提案法のパス選択法[%]	100	100	100	100	100	0	...

表から完全再現十分条件だけでは推定可能な組合せのみを選択できていないが、提案法のパス選択法では選択できている

まとめ

結論

- ・従来法を拡張し，マルチキャスト通信におけるパケット損失率推定法を提案し，アクティブ計測のみの結果と比べ，**計測パスを削減することができた**
- ・パスの選択法提案し，**アクティブ計測のパスを削減する A_0 を選択できることを示した**

今後の展望

- ・パケット損失発生するリンクが複数の場合
- ・計測パスを削減した A_0 を探索するアルゴリズム
- ・パケットを流したシミュレーション